

USC 1951

25X1 [REDACTED]  
CONFIDENTIAL25X1 [REDACTED]  
CENTRAL INTELLIGENCE AGENCY  
**INFORMATION REPORT**

25X1

COUNTRY USSR

SUBJECT Summary and evaluation of Soviet Article, "Production of Silicon Alloys, Part I", by P. V. Gel'd, and N. N. Buinov

[REDACTED]

[REDACTED]

DATE DISTR. 24, NOV 53

25X1

THIS DOCUMENT CONTAINS INFORMATION AFFECTING THE NATIONAL DEFENSE OF THE UNITED STATES. WITHIN THE MEANING OF TITLE 18, SECTION 702 AND 704, OF THE U.S. CODE, 9 AMENDED. ITS TRANSMISSION OR REVELATION OF ITS CONTENTS TO OR RECEIPT BY AN UNAUTHORIZED PERSON IS PROHIBITED BY LAW. THE PRODUCTION OF THIS REPORT IS PROHIBITED

THIS IS UNEVALUATED INFORMATION

NO. OF PAGES 2

NO. OF ENCLS.

SUPP. TO  
REPORT NO.

25X1

[REDACTED]

25X1

1. [REDACTED] "Production of Silicon Alloys, Part I" by P. V. Gel'd and N. N. Buinov, Journal of Applied Chemistry, v. 23, No. 10, October 1950, pp. 1087-1094. The substance of this article relates to the study of the alloys of silicon during melting of the alloys, and to the attempt to draw conclusions regarding the amount and the nature of the lost material through study of the fine deposits in the electric furnace. The author arrives at the following conclusions:

- (a) On the basis of chemical, microscopic (optical) and electron microscopic examination of the gaseous products in furnace-melting alloys of silicon, it is shown that the losses of silicon characteristic of the furnace are connected with the formation of oxide of silicon ( $\text{SiO}$ ).
- (b) Electron microscope studies of the "dust-like" deposits show that these deposits are made of spherical particles of a diameter from 50 to 10,000 Angstrom units. This circumstance is explained by the fact that during the process of cooling of the furnace gases, the oxide of silicon which is present in this case is condensed and then further oxidized with the formation of  $\text{SiO}_2$ .
- (c) It is suggested that there exist two liquid oxides of silicon, one is liquid and the other solid, which is metastable, i.e., may undergo allotrophic transformation. It is shown that brown, glasslike deposits which are found in the cold zones of the furnace are the products of the partial decomposition of oxide of silicon into silicon and  $\text{SiO}_2$ .

25X1 [REDACTED]  
CONFIDENTIAL

25X1 [REDACTED]

DISTRIBUTION	STATE	X ARMY	X NAVY	X AIR (ATIC)	X FBI	C/SR	X	
--------------	-------	--------	--------	--------------	-------	------	---	--

This report is for the use within the USA of the Intelligence components of the Departments or Agencies indicated above. It is not to be transmitted overseas without the concurrence of the originating office through the Assistant Director of the Office of Collection and Dissemination, CIA.

25X1

25X1

- 2 -  
CONFIDENTIAL

25X1

- 25X1 2. The paper does not contain valuable information: in American practice [redacted]  
25X1 [redacted] the losses of "dust-like" nature do not constitute a problem.

25X1

25X1

- end -

25X1

25X1

[redacted]  
CONFIDENTIAL

25X1

25X1

Transl. by L. J. 17. 1971

T. XXIII, № 10 ЖУРНАЛ ПРИКЛАДНОЙ ХИМИИ 1950

источник  
подорожника  
и покрытия  
связи  
и монст.

446, 1025

*Journal of Applied Chemistry, Oct., 1950  
pp. 1087-1094*

## ВЫПЛАВКА КРЕМНИСТЫХ СПЛАВОВ\*

P. V. Гельд и N. N. Буанов  
П. В. Гельд и Н. Н. Буанов

Софедра теории металургических процессов Уральского политехнического института и Институт физики металлов Уральского филиала Академии Наук СССР

Многочисленные лабораторные и производственные наблюдения за поведением кремниевого при высоких температурах указывают на заметную ее летучесть в восстановительной среде. Это обстоятельство обычно объясняется промежуточным образованием окиси кремния, обладающей существенно большей упругостью пара, чем кремниевистые кремнини [1]. Именно погонкой окиси кремния последующим испарением ее паром в горячих зонах печей обуславливается сильное дымообразование, наблюдавшееся при выплавке различных марок ферросплавов в электропечах, производстве ферроуглеродистых в доменных печах, выплавке электростали кремниево-стеклянным процессом, производстве фосфора и фосфорной кислоты термическим и электротермическим методами и во многих других случаях, когда кремниевистота (или окиси) нагрета до высокой температуры в присутствии подходящего восстановителя.

Особо ярко выражено это обстоятельство при производстве кремнистых сплавов, где восстановительный процесс осуществляется ступенчато ( $\text{SiO}_2 \rightarrow \text{SiO} \rightarrow \text{Si}$ ) [2], а также при осуществлении спликтертермических взаимодействий ( $\text{Si} \rightarrow \text{SiO} \rightarrow \text{SiO}_2$ ) [3].

Исследование продуктов погонки различных печных устройств в свете сказанного имеет существенное значение, так как позволяет более глубоко понять механизм взаимодействий, разыгрывающихся в технологических агрегатах, выяснить причины потери ценных компонентов шихты и электроэнергии на их погонку, а также изучить санитарно-технические условия работы обслуживающего персонала в некоторых случаях причинами профессиональных заболеваний.

В первой части настоящей работы дается описание и обсуждается происхождение продуктов погонки, образующихся при производстве некоторых кремнистых сплавов (кристаллический кремний, ферросилиций, силикохром), а во второй — при осуществлении ряда металло-термических процессов (безуглеродистый феррохром, ферромолибден, ферротитан), плавке электрокорунда и производстве плавленного когнезита.

Важнейшими реакциями, разыгрывающимися при выплавке кремнистых сплавов, являются процессы восстановления кремниевистоты до кремния, осуществляющиеся с промежуточным образованием окиси кремния. Высокая летучесть последней обесценивает, с одной стороны, интенсивное взаимодействие ее паров с восстановителем (обычно углеродом), а с другой, — обуславливает заметные ее потери с горючими газами. Для иллюстрации отметим, что выплавка 45% ферросилиция сопровождается погонкой ~4.5% плавного и печи кремния,\*\* а производство 75% Fe, Si — даже 10.0% [4]. Потери таких количеств кремния существенно сказываются как на экономике производства, так и на условиях труда рабочих.

Высказанное выше предположение о роли окиси кремния в связи с потерями кремния не является общепринятым. В ряде литературных источников [5, 6] их

\* Сообщение 1 из области работ по исследованию продуктов погонки на ферросплавных печах.

\*\* В форме кремниевистоты и спликаторов.

1088

Н. В. Герасимова и Н. Н. Байдюк

объясняют улетучиванием паров кремния или кремнезема, а иногда и простым механическим уносом частиц пылевидных материалов. В некоторых случаях показано, что половина потери кремния связана с образованием  $\text{SiO}_2$ , а вторая половина обусловлена взрывчатым паром  $\text{Si}$ .

Следует, однако, заметить, что первичные выше гипотезы не имеют достаточного экспериментального обогащения; это делает их малоадекватными. Может быть, лабораторные исследования однозначно показывают, что ногтевая кремнина и эпоксиды определяются образованием окиси кремния, обладающей упругостью пара, намного большей, чем кремний и кремнистый углерод.

## ЭКСПЕРИМЕНТАЛЬНАЯ ЧАСТЬ

Существенные подтверждения справедливости гипотезы о решающей роли окиси кремния дают данные, полученные при изучении продукта взаимодействия ряда ферросплавильных печей.

Трудность выяснения природы первичных продуктов возгонки состоит в том, что на  $\gamma$ , где колошиника они окисляются кислородом воздуха до кремнилокислоты. Лишь относительно редко, при низком посадке электродов, электролюдодержатели частично оказываются на не продолжительный период времени в восстановительной среде, когда возможно отложение на них неокислившихся продуктов возгонки. Изредка также наблюдается конденсация возгонов и непосредственно в пылевых материалах вблизи поверхности колошиника.

Характерным для всех подобных отложений является то, что сумма процентных содержаний компонентов образцов (при допущении, что весь кремний находится в форме  $\text{SiO}_2$ ) всегда значительно превышает 100%, и в ряде случаев достигает 125–130% (таблица).

Химический состав (в %) некоторых продуктов изогонки из печей, выплавляющих ферросилиций и кристаллический кремний:

№ нр проб	Наименование проб	SiO <sub>2</sub>	Al <sub>2</sub> O <sub>3</sub>	FeO	CaO	MgO	SO <sub>3</sub>	Погреш- ность при показыва- нии	Σ
1	Колошниковая пыль . . .	98.52	1.91	0.74	1.95	--	0.90	0.25	104.
2	Пыль на манителе . . . .	94.44	2.61	1.19	2.55	--	0.58	1.92	103.
3	Пыль на щеке электродо- держателя . . . . .	98.83	2.03	0.68	2.13	--	0.83	0.72	105.
4	Настья на электроде   (под электрододержа- телем) . . . . .	125.10	-	1.70	0.28	0.18	--	1.50	128.
5		125.91	-	0.91	0.19	0.49	0.32		116
6	Образец с поверхности колонника . . . . .	127.50	0.83	1.17	--	--	--	--	129.

\* Существенное различие в составе проб №№ 1-3 и 4-6 связано с тем, что первые отбирались из мест, в которых господствовала более окислительная атмосфера, чем в зоне отложения последних. Очевидно поэтому, что пробы №№ 4-6 по своему составу близки к первичным продуктам взрыва, чем образцы №№ 1-3; это делает целесообразным их более полное описание.

Справочник № 1  
для изучения языка  
и грамматики арабского  
языка для изучения  
и преподавания в школах  
и вузах в Азии и  
восточной Европе

Для кипропроцесса  
используются гидравлические  
и гидравлическо-вакуумные. Для  
выполнения этого процесса

Последование  
для генератора  
принятое что буде  
Образец № 4  
изложены, образцы  
отправляемы Новом

личного участка. Значительный разрез № 6 показывает поверхности, которые несколько неизменены в структуре и в 3-4 мкм. Наружная ее поверхность, как и внутрь почвенных нарезок (2 мм), образованных при конденсации и разложении буровых ходов с образованием наростов неизированной почвой, проходит в отражении образец микроскопа состоит из двух фракций: отдельными скоплениями, образованы сферами диаметром 0,2 мм (рис. 2). Тогда видно из рис. 3, на

## Отмеченные изданием И. И.

Происхожде-  
ние кремния  
Всепланетарное

протяжки подается в зону обус-  
тава, имеет достоинства. Между тем, в образованной им зоне

о решению про-  
изводственных  
проблем при низкой  
цена на ис-  
дре, когда  
возможности  
существенно  
то, что  
имущество,  
здесь пред-  
ставляется.

анализ  
макро-  
и макро-  
микро-  
структуры

№	Σ
295	101.27
292	143.29
293	105.93
290	125.07
286	139.88
287	125.49

связано  
свойства  
стекла

блока  
должен

образец № 4 (настыв из электроде под электрододержателем) имеет матовую поверхность и вид похожий на горючий цвет с ярким блеском. Твердый (твердость 2-3), групный, и излом мелкоячеистый. Иногда при раскашивании образца при потоке излучения белые горяченики хорошо видны на рис. 1. Центральная зона горячения состоит из водно-проточного стекловидного вещества, а периферия из матово-блестящего материала. Из полученного в форме пачек изматочных образований

водно-проточная горячина имеет коэффициент предомления  $n = 1.456$ , что идентифицирует ее с метаподобитом. Периферийное, матово-блестящее положение является оптически анизотропным зеркальным [7].

Исследование мелко измельченного горячего покрова в иммерсионном препарате показало, что даже самые тонкие частицы совершенно непрозрачны, причина чего будет указана ниже.

Образец № 4 во составе, окраске, химическим свойствам во многом напоминает сплавы, образующиеся при сплавлении обожженных карбонитридов изогоряющих [7].

Несколько градиентная форма пачек, указывающая на возникновение его в результате капельной конденсации (или оплавления) продукта огнушки.

Зональная структура образца, появившемуся из более окисленной и более восстановительной зону печного устройства.

Значительный интерес представляет образец № 6, выпущенный горячими газами из горелки водонагреватель; он имел форму пира-  
миды неправильной формы с длиной ребра 3-4 мм и диаметром 100-150 мм. Поверхность его была гладкая в то время как внутренний покрыт небольшими зернистыми пачками (диаметром от 0,3 до 1 мм), образовавшимися в результате капельной конденсации продукта огнушки. Матовая поверхность буро-желтого цвета, внешне схожа с образцом № 4. В искре новых превращений не проявлено, даже при использовании разных источников света. Исследование пачек в отраженном свете показало, что будучи микроскопически недиференцированы. Они состоят из двух фаз, одна из которых обладает относительно равномерной распределением светлыми частичками высокой дисперсности. Местами, однако, они коагулируют, образуя сравнительно большие включения, размер которых достигает 0,05-0,1 мм (рис. 2). То, что эти частицы возникают за счет коагуляции более мелких, видно на рис. 3, на котором фиксирована промежуточная стадия подобного процесса.

Изменение структуры мелких глобул был снят на фотографии (в маслоной рамке) с увеличением 2300 раз, одна из которых представлена на рис. 4. Белое поле на нее соответствует большой частице, образованной в результате коагуляции, ее диаметр на рисунке в 0,001 мм. Сопоставление пачеки образца и эталона, изготовленного из воронки кристаллического кремния, залитого в канифоль, позволяет сказать, что фаза, состоящая как из мелких, так и крупных глобулей в основном содержит кремний. К тому же результату приводят данные рентгеноструктурного анализа.

Отмеченная непрозрачность образцов непосредственно связана с наличием в них высокодиспергирующего металлического кремния.

Было показано, что кремний стабилизирует при высоких температурах. Некоторые авторы считают, что твердую окись кремния нельзя получить в виде мелкоячеистого состояния благодаря большой скорости ее сплавления в кремний и кремнилоксите. Если не считать себя подобной превращение огнестойкостей и недостаточно аргументированной, то стоит же сказать, что можно ожидать, что образца № № 4-6 и им подоб-

ных сплавах, которые обладают температурой плавления [8].

Состав сплава см. рисунок 2-10.



Рис. 1. Внешний вид пачек из электроде печи, выплавляющей кристаллический кремний.

ные образовались в результате конденсации пара  $\text{SiO}$  до жидкости, богатой  $\text{SiO}$ . Понижение температуры, особенно в условиях жилой фазы, способствует распаду  $\text{SiO}$  на  $\text{SiO}_2$  и  $\text{Si}$ .

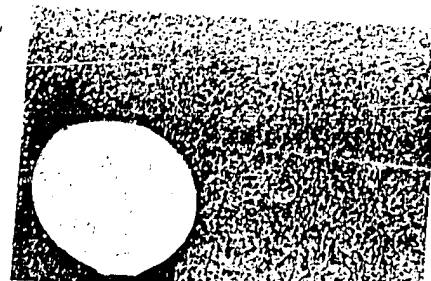


Рис. 2. Микрофотография поверхности колошника крупной частицы из природы образца (увеличение 600). Видна кремниевая пластина.

в жидкой фазе, т. е. осуществляется  $\text{SiO}_2$ . Правда, последнее не совсем так, разец не состоит из чистой  $\text{SiO}_2$ , а содержит большое количество плавней ( $\text{Fe}_2\text{O}_3$ — $\text{Cr}_2\text{O}_3$ ) и кремниекислоту (15.5%) — продукт очищ.

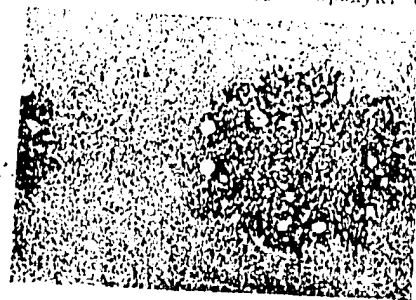


Рис. 3. Микрофотография полиромки образца с поверхности колодника (увелич. 300). Начальная стадия коагуляции.

окись кремния является стабильной в атмосфере. Попытки добиться заметной гетерогенности кремния в твердом состоянии, путем нагревания до 1200° С., окончились неудачей. Этапическую сложность распада  $\text{SiO}_2$  и его полимеров, определенную термографически, показано на рисунке 1.

ации пара  $\text{SiO}_2$  до жидкости, особенно в условиях жидкой  $\text{SiO}_2$ - $\text{Si}$  и коагуляции последней. В результате этого в размывченном шаровом образце возникли глубокие кремния различной дисперсности. То обстоятельство, что все они имеют округлую форму, указывает на значительную вероятность их образования при температуре выше температуры плавления кремния ( $1414^\circ\text{C}$ ). Отсюда следует, что ниже этой температуры твердая окись кремния метастабильна. Более того, следует считать, что твердая  $\text{SiO}_2$ , по видимому, метастабильна и при более высоких температурах, так как отмеченный выше распад имел место выше температуры плавления, но, так как исследование

Электронный  
ионный газор-  
аспределительный  
аппарат с ферро-  
момагнитной системой  
может заключать  
графин дымки  
что государство  
чины подчиняют  
себе

Владимир  
тическая политика  
связана с рас-  
центрацией ко-  
и различными

Рис. 4. Микрофотография полированного образца с поверхности колонки линии и обратного (увеличение 2300). Белое поле — краина 80% всех частиц кремния (рис. 2).

жидкости, их жидкостью последует этого шаровом, глобулы дисперсностью, округлую и на значимость их температуры (1414° С), что никакая твердая метастабильность, следует из  $\text{SiO}_2$ , по-видимому и температурный обмен, не другой, — приводящий

поморковки колошника — крупной 2).

температурах окиси кремния температуре может колошник

ника печи, так и из ее летки (при выпуске металла). Они образуются за счет охлаждения горючих газов, конденсации летучих компонентов и их догорания на колошнике. В силу этого обстоятельства, вне зависимости от первичного состава возгоняемых компонентов, пыльники состоят из почти чистой кремнекислоты. Это подтверждается многочисленными анализами, согласно которым состав дымовых налетов колеблется в пределах:  $\text{SiO}_2$  — 70—90%,  $\text{R}_2\text{O}_3$  — 6—10%,  $\text{CaO}$  — 1—6%,  $\text{MgO}$  — 1—5%. потеря при прокаливании 0.5—15%. Поэтому химический анализ пыли вряд ли может быть полезен для обсуждения роли окси кремния в выносе кремния. Наоборот, исследование формы и размеров пыльников может оказаться более продуктивным.

Как было показано ранее [4], пыль, образующаяся при выплавке 75% ферросилиция, состоит из сферических частиц диаметром от 50 Å до 1 μ; наибольшее распространение имеют частицы диаметром в несколько сот ангстрем. Сопоставление формы пыльников с отмеченным выше фактом капельной конденсации окси кремния вблизи поверхности колошника позволяет сделать предположение о том, что пыльники возникают за счет окисления тумана  $\text{SiO}$ , образующегося при охлаждении горючих газов у поверхности колошника. Подобный генезис подтверждается также и тем обстоятельством, что возгонка синтетической окси кремния в окислительной атмосфере приводит к формированию дыма, твердые частицы в котором имеют столь же сферическую форму, как и в промышленных образцах [5].

Электронно-микроскопическое исследование пыли, выпадающей горючими газами из печей, выплавляющих кристаллический кремний, 45% ферросилиций и разные марки ферросиликохрома, приводит к аналогичным выводам о происхождении дымов. Это, в частности, можно заключить на основании рис. 5, где приведены теневые фотографии дымовых налетов при увеличении в 21 000 раз. Из них видно, что господствующее число пыльников имеет сферическую форму. Причины полидисперсности частиц обсуждались ранее [6, 7] и, по-видимому, связаны с разновременностью их зарождения, неоднородностью концентрации конденсирующегося вещества в отдельных местах печи и различными условиями охлаждения горючих газов.

Как видно из рис. 5, пыльники, образующиеся при выплавке ферросиликохрома, отличаются несколько более высокой дисперсностью, чем для двух других образцов. Это, по-видимому, связано, с одной стороны, с лучшими условиями улавливания кремния свежевосстановленным хромом и развитием взаимодействия  $\text{SiO}$  с окисью хрома, а с другой, — с большим объемом горючих газов, выделяющихся относительно холодных частях печи при восстановлении хромитовой углеродом, существенно понижающих концентрацию в них окси кремния.

Приведенные данные о дисперсности пыльников находятся в согласии с результатами исследования аэрозолей, образующихся при изготовлении и обработке плавленого кварца. В последнем случае более 80% всех частиц имеют диаметр менее 1 μ [8].

В дополнение к ранее выполненным исследованиям продуктов возгонки синтетической окси кремния нами были изучены дымовые налеты, получающиеся при нагревании  $\text{SiO}_2$  в восстановительных условиях (графит) и испарении кремния в окислительных (воздух). Оказалось, что строение пыльников и в этом случае сферическое. Это обстоятельство можно рассматривать как дополнительное подтверждение применимости принципа последовательных превращений Байкова [1] к окислительно-восстановительным взаимодействиям, развивающимся в присутствии кремния, по схеме [12]  $\text{Si} \rightleftharpoons \text{SiO} \rightleftharpoons \text{SiO}_2$ .

То обстоятельство, что взаимодействие  $\text{SiO}_2$  с графитом приводит к образованию окиси кремния, не удивительно и достаточно экспериментально изучено [1, 12]. Более интересно, что к тому же ведет и окисление кремния. Повидимому, в связи с этим обстоятельством находятся хорошо известное технолагам сильное дымление кремнистых сплавов (кристаллический кремний, ферросы, —, ферросиликохром и пр.) при их выпуске из печи, несмотря на относительно низкую температуру металла ( $1500$ — $1600^\circ\text{C}$ ). Теми же причинами следует, вероятно, объяснить и природу обильного дымообразования при продувке кремнистого чугуна легирования стали кремнием на жаробе и т. д.

В этом отношении кремний весьма походит на своего аналога — германия, окисление которого сопровождается возгонкой хорошо летучего низшего его окисла ( $\text{GeO}$ ), образующего белый дым [14].

Так как при выплавке ферросилиция в шихте содержится железо, а при выплавке ферросиликохрома еще и хром, интересно было выяс-

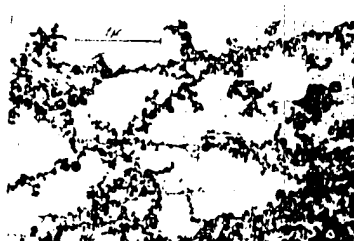
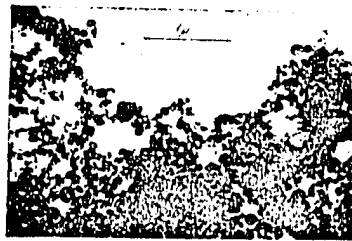


Рис. 5. Электронно-микроскопические фотографии (увелич. 21 000) диамонных налетов, получающихся при выплавке:  
Наверху — 45% Fe, Si; слева — кристаллического кремния; справа — 4% Fe, Si, Cr.

нить структурные особенности возгонов, получающихся при испарении этих металлов в окислительной среде.

На рис. 6 представлена электронно-микроскопическая фотография диамонных налетов железа и хрома, полученных с помощью дуги. Железо дает высокодисперсию систему, отдельные частицы которой все же имеют округлый характер. Напротив, для хрома, при той же высокой дисперсности, свойственно образование довольно хорошо оформленных шестигранниковых пластинок, которые, согласно электронографическим исследованиям, состоят из окиси хрома.

Не касаясь деталей строения этих возгонов, отметим, что в структурном отношении они существенно отличаются от сферических частиц, образующихся при испарении соединений кремния. Это, в совокупности с химическим анализом образцов пыли, показывает, что описанные ранее электронно-микроскопические фотографии (рис. 5) относятся действительно к процессу окисления окиси кремния.

Одно кремниевое образование, ждатель, частично существует в шахте и это при сдвигах т. е. так

Изложена по-новой переключочная горючая с восстановлением приводит к непроре-

Рис. 6. Элек-

По мере конденсации стороны, рода: Рассматриваемую

$\text{SiO}_{\text{рас}}$ , констант.

Упругий

$1.1 \cdot 10^{-9}$

Полагают,

имеем:  $\Delta f$

Это уменьшение окиси кремния, вносящие изменения в окисление

Справа: экспериментальная темп-

С приходом же эксперимент и окислением нахождениях членами хромом до низкую следует, при про-  
на легиро-  
на жалобе

кремний  
аналога —  
этого со-  
ю хорошо  
ция (GeO),  
и [1].  
железо,  
или хрома  
было выяс-

ных налетов,  
на, где  
при испаре-  
фотографии  
шью дуги,  
ты которой  
при той же  
но хорошо  
электроно-  
то в струк-  
сферических  
что, в свою  
значает, что  
и (рис. 5)  
ния.

Однородно-шарообразная форма пылинок, выделяющихся при плавке кремнистых сплавов, отсутствие ограниченных и неправильной формы образований позволяют с достаточной степенью вероятности утверждать, что основная масса дыма не содержит механически увлеченных частиц шинкты той дисперсности, которая обеспечила бы их устойчивое существование в дыме. Несомненно, что быстро поднимавшиеся по шахте печи газы увлекают за собой кусочки шинкты; особо заметно это при образовании свищей. Однако подобные крупные частицы сравнительно быстро оседают на колошник или догорают (уголь), т. е. так или иначе удаляются из газовой фазы.

Изложенные выше данные позволяют поэтому полагать, что причина потери кремния при выплавке его сплавов связана с недостаточной перегородкой в шахте печи окиси кремния, являющейся промежуточным продуктом восстановления. Кратковременность пребывания горючих газов в печи, недостаточно развитая поверхность контакта с восстановителем и частичное блокирование последнего карборундом приводят к тому, что в газовой фазе сохраняется заметное количество непрореагированной окиси кремния.



Рис. 6. Электронно-микроскопические фотографии (увелич. 21 000) дымовых налетов окислов железа (слева) и хрома (справа).

По мере подъема газов к колошнику и их охлаждения происходит конденсация SiO и образование капель тумана, окисляющихся с одной стороны, кислородом воздуха, CO<sub>2</sub> и H<sub>2</sub>O, а с другой, — окисью углерода. Реализуемость последнего взаимодействия вытекает из приведенных соображений. Как известно [1], для реакции:  $\text{SiO}_{(газ)} \rightleftharpoons \text{C}_{(газ)} \rightleftharpoons \text{SiO}_{(газ)} + \text{CO}_{(газ)}$ , при 1600°К (температура колошников газов) константа равновесия  $K_p \approx P_{\text{SiO}} \cdot P_{\text{CO}} \approx 1.45 \cdot 10^{-5}$ .

Ниругость же пара окиси кремния при этой температуре  $P_{\text{SiO}}$  равна  $1.1 \cdot 10^{-3}$  атм.

Полагая в первом приближении, что для горючих газов  $P_{\text{CO}} \approx 1.0$  атм., имеем:  $\Delta F = -RT(\ln 1.0 \cdot 1.1 \cdot 10^{-3} - \ln 1.45 \cdot 10^{-5}) > 0$ .

Это указывает на то, что при температурах, господствующих на колошнике, окись углерода является окислителем коинтенцированной окиси кремния. Таким образом, изучаемые дымовые налеты, представляющие собой почти чистую кремнекислоту, являются продуктами окисления SiO не только O<sub>2</sub>, CO<sub>2</sub> и H<sub>2</sub>O, но и CO.

Справедливость последнего заключения была нами подтверждена экспериментально. С этой целью навеска твердой окиси кремния, подведенная в пробирке к пружинным весам, нагревалась до определенной температуры в атмосфере окиси углерода. Как видно из рис. 7,

построенного в координатах увеличение веса 1 г окиси кремния — время в часах, с ростом температуры скорости обсуждаемого взаимодействия заметно возрастает. Однако даже за 8 часов при 1200°С процесс окисления окиси кремния полностью не заканчивается\* и к концу опыта резко замедляется благодаря отложению плотного покрова углерода и кремнекислоты.

#### Выводы

1. На основании химических, кристалло-оптических и электронно-микроскопических исследований продуктов возгонки из печей, вылавливающих кремнистые силианы, показано, что потери кремния, свойственные этим процессам, связаны с промежуточным образованием окиси кремния.

2. Электронно-микроскопические исследования дымовых налетов показали, что они состоят из сферических частиц диаметром от 50 до 10000 Å. Это обстоятельство поясняет тем, что в процессе охлаждения горючих газов содержащаяся в них окись кремния, конденсируясь, образует туман, окисление капелек которого ведет к их превращению в кремнекислоту.

3. Высказания соображений о возможности существования жидкой окиси кремния и метастабильности твердой. Показано, что коричневые стекловидные отложения, образующиеся в холодных зонах печных устройств, являются продуктами частичного распада окиси кремния на кремний и кремнекислоту.

#### ЛИТЕРАТУРА

- [1] И. В. Гельф и М. Н. Кочнев, ЖНХ, 21, 1249 (1948). — [2] И. В. Гельф, Сталь, 8, 706 (1947). — [3] И. В. Гельф, ДАН СССР, 61, 495 (1948). — [4] С. Н. Хитрик, Сталь, 7, 603 (1947). — [5] А. Я. Крамаров, Электрометаллургия ферросилиев, ОГИИ (1936). — [6] К. П. Григорович (редактор), Электрометаллургия ферросилиев, ОГИИ (1937). — [7] А. И. Новиков, ЖНХ, 26, 431 (1947). — [8] И. В. Гельф, О. А. Есин, И. Н. Буйнов и Р. М. Лериман, ДАН СССР, 67, 1073 (1949). — [9] А. Б. Шехтер, С. З. Рогинский и С. Сахарова, Изв. АН СССР. ОХН, 5, 491 (1946). — [10] С. Л. Данилевский, Алюминий из производстве, Изд. Инст. гигиены труда, Л., 157 (1939). — [11] А. А. Байков, Металлургия, 3, 5 (1926). — [12] Я. С. Шедровицкий, Сталь, 6, 555 (1948). — [13] И. В. Гельф, А. Г. Кологреева и И. Н. Серебренников, ЖНХ, 21, 1260 (1948). — [14] А. К. Русанов, Спектральный анализ руд и минералов. Госгеологиздат, 140 (1948).

Поступило в Редакцию  
2 октября 1949 г.

\* Полное окисление должно сопровождаться приростом веса 1 г окиси кремния

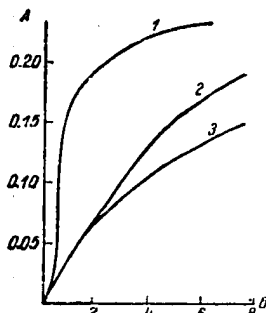


Рис. 7. Влияние температуры и времени на скорость окисления твердой окиси кремния окисью углерода.  
A — увеличение веса 1 г окиси кремния, B — время (часов). 1 — N=28, 1200°С; 2 — N=27, 1000°С; 3 — N=26.8, 900°С.

Научно-исследовательский институт  
экспериментальной радиотехники

и радиотехники  
Таким образом, при охлаждении горючих газов, содержащихся в них окись кремния, конденсируясь, образует туман, окисление капелек которого ведет к их превращению в кремнекислоту.

Интересно, что распределение серы, чем эти мами серы.

С этой же целью в единений ряду  
n-Кремнил

RO-C—SCF<sub>3</sub>  
||/  
S

(CH<sub>3</sub>—, C<sub>2</sub>H<sub>5</sub>—, предложенное  
взаимодействие  
золя) C(SiF<sub>3</sub>)<sub>2</sub>  
тогеновых

Для изу-  
сintéзирован  
олифатиче-  
ских кис-  
лот доказа-